

## مطالعه سینتیکی آنزیم پراکسیداز در حضور آلکالوئیدهای پورینی

## طیبه رحمتی دروازی و ریحانه سریری

گروه زیست شناسی، دانشکده علوم، دانشگاه گیلان، رشت، ایران  
مسئول مکاتبات: طیبه رحمتی دروازی، armrah@guilan.ac.ir

**چکیده.** آنزیم پراکسیداز واکنش‌های اکسیداسیونی پیش‌ماده‌های مختلف را با استفاده از هیدروژن پراکسید که یک گونه فعال اکسیژنی است، تسریع می‌کند. گونه‌های فعال اکسیژن در غلظت‌های کم، به عنوان پیام‌رسان در تنظیم مسیرهای درون سلولی عمل می‌کنند و در غلظت‌های زیاد، با ایجاد استرس اکسیداتیو قابلیت غلبه بر سیستم ایمنی را دارند. از طرفی، نوشیدنی‌هایی مثل قهوه، چای و نوشابه‌های گازدار که به مقدار فراوان در رژیم غذایی روزانه افراد وجود دارند، حاوی مقادیر زیادی از آلکالوئید گزانتین‌ها از جمله تیوفیلین و تیوبرومین هستند. از این‌رو، تأثیر تیوفیلین و تیوبرومین بر فعالیت پراکسیداز بررسی شده است. فعالیت پراکسیداز به روش کینتیک توسط اسپکتروفتومتر از طریق دنبال کردن جذب محصول رنگی ناشی از اکسایش ۴-آمینوانتین پیرین در طول موج ۵۱۰ نانومتر به مدت ۳ دقیقه، در حضور و فقدان تیوفیلین و تیوبرومین اندازه‌گیری می‌شود. در این مطالعه نشان داده شد که هر دو ترکیب فعالیت آنزیم پراکسیداز را مهار می‌کنند و مقادیر  $IC_{50}$  برای تیوبرومین و تیوفیلین به ترتیب ۰/۵۰ و ۰/۵۵ میلی‌مولار است. از طرفی مقادیر ثابت‌های  $K_m$  و  $V_{max}$  هر یک از مهارکننده‌ها، نارقابتی بودن مکانیسم مهار را نشان می‌دهد. همچنین مقدار  $K_i$  برای تیوبرومین و تیوفیلین به ترتیب ۰/۰۳ و ۰/۰۴۵ میلی‌مولار تعیین شد. در نتیجه، تیوبرومین در مقایسه با تیوفیلین، به دلیل داشتن مقادیر کمتر  $IC_{50}$  و  $K_i$ ، دارای قدرت مهار بالاتر و تمایل اتصال بیشتری به کمپلکس آنزیم - پیش‌ماده است. بنابراین، نتیجه‌گیری می‌شود که تیوبرومین اثر مهاری قوی‌تری بر فعالیت پراکسیداز دارد.

واژه‌های کلیدی. آنتی‌اکسیدان، تیوبرومین، تیوفیلین، رادیکال آزاد، مهارکننده

## Kinetic study of peroxidase enzyme in the presence of purine alkaloids

## Tayyebeh Rahmati Darvazi &amp; Reyhaneh Sariri

Department of Biology, Faculty of Science, University of Guilan, Rasht, Iran  
Correspondent author: Tayyebeh Rahmati Darvazi, armrah@guilan.ac.ir

**Abstract.** Peroxidase catalyzes different oxidation of substrates using hydrogen peroxide, a reactive oxygen specie (ROS). ROS, at low concentrations, act as messenger to regulate intracellular signaling, whereas, at high concentrations, they can overcome the immune system by creating oxidative stress. Some common beverages such as coffee, tea and soft drinks contain high levels of xanthine alkaloids including theophylline and theobromine. In this study, the effect of theophylline and theobromine on peroxidase activity was kinetically studied by measuring the absorption of 4-aminoantipyrine, oxidized in the presence and absence of theophylline and theobromine at 510 nm for 3 minutes. The results showed that theobromine and theophylline acted as inhibitors with  $IC_{50}$  of 0.50 and 0.55 mM, respectively.  $K_m$  and  $V_{max}$  values showed that both compounds are non-competitive inhibitors. The values of  $K_i$  were calculated as 0.03 and 0.045 mM for theobromine and theophylline, respectively. Lower values of  $K_i$  and  $IC_{50}$  for theobromine compared to theophylline indicates that theobromine has a higher inhibition strength and binding tendency to the enzyme-substrate complex. Hence, it is concluded that theobromine has a stronger inhibitory effect on POD activity.

**Key words.** antioxidant, free radical, inhibitor, theobromine, theophylline

## مقدمه

آنزیم آنتی‌اکسیدانی پراکسیداز یک پروتئین هم‌دار است، که واکنش‌های اکسیداسیونی پیش‌ماده‌های مختلف آلی و غیرآلی را با استفاده از هیدروژن پراکسید، به عنوان پذیرنده الکترون، تسریع می‌کند. تمام هم‌پراکسیدازها دارای یک چرخه کاتالیتیک عمومی با سه مرحله احیای متوالی هستند (Valko et al., 2006). در ابتدا آنزیم با یک مولکول هیدروژن پراکسید، در طی یک فرآیند اکسیداسیون - احیای دو الکترونی واکنش می‌دهد. در نتیجه هیدروژن پراکسید، احیاء شده و آب تولید می‌گردد و از طرفی آنزیم به شکل اکسید در می‌آید، که به آن ترکیب I گفته می‌شود. این ترکیب شامل یک مرکز اکسی فریل ( $O = Fe(IV)$ ) و یک رادیکال آلی کاتیونی، واقع بر روی هم یا یک ریشه تریپتوفان است. در مرحله دوم، رادیکال کاتیونی ترکیب I دستخوش احیای تک الکترونی شده و یک مولکول سوبسترا را اکسید می‌کند، بنابراین ترکیب II با مرکز اکسی فریل شکل می‌گیرد. در آخرین مرحله، ترکیب II با اکسیداسیون تک الکترونی دومین سوبسترا، به حالت پایه فریک احیاء می‌شود که این مرحله تعیین کننده سرعت واکنش است (Conesa et al., 2002).

هیدروژن پراکسید (Hydrogen peroxide) به گروهی از رادیکال‌های آزاد به نام گونه‌های فعال اکسیژن (Reactive Oxygen Species) تعلق دارد. رادیکال‌های آزاد، مولکول‌های فعال یا یون‌هایی هستند که در طی متابولیسم طبیعی سلول از اکسیژن مولکولی مشتق شده‌اند (Pisoschi & Pop, 2015; Valko et al., 2006). ROS ها در غلظت‌های پایین یا متوسط دارای یک نقش فیزیولوژیک در پاسخ به آسیب‌های سلولی از جمله دفاع در برابر عوامل عفونی هستند. همچنین در عملکرد تعدادی از سیستم‌های پیام‌رسان سلولی مثل آپوپتوز و بیان ژن نقش دارند و به تنظیم تکثیر و تمایز سلولی کمک می‌کنند (Agidigbi & Kim, 2019; Perillo et al., 2020). از اثرات مضر رادیکال‌های آزاد می‌توان به استرس اکسیداتیو و نیتروژاتیو اشاره کرد که در غلظت‌های بالای گونه‌های فعال اکسیژنی مشاهده می‌شوند. تماس طولانی با رادیکال‌های آزاد حتی در یک مقدار کم، ممکن است باعث آسیب به مولکول‌های مهم بیولوژیکی و جهش DNA شود، در نتیجه می‌تواند منجر به بیماری‌های مهمی از جمله انواع سرطان‌ها شود (Liguori et al., 2018; Gammella et al., 2016; Srinivas et al., 2019). بنابراین با وجود اینکه مولکول اکسیژن برای حیات هوازی کاملاً ضروری است، تحت شرایط ویژه‌ای می‌تواند سمی هم باشد که به این پدیده اصطلاحاً پارادوکس اکسیژنی

(Oxygen Paradox) گفته می‌شود. از این‌رو، اختلال در عملکرد آنزیم پراکسیداز ممکن است، منجر به تجمع ROS ها و بروز برخی ناهنجاری‌ها در بدن گردد (Davies et al., 2017).

از طرفی در جوامع امروزی، نوشیدنی‌های رایجی مانند قهوه، چای و نوشابه‌های گازدار که روزانه توسط افراد مصرف می‌شوند، حاوی مقادیر بالایی از متیل گزانتین‌ها از جمله تئوبرومین (۳ و ۷ دی متیل گزانتین) و تئوفیلین (۱ و ۳ دی متیل گزانتین) با فرمول شیمیایی یکسان ( $C_7H_8N_4O_2$ ) هستند. این ترکیبات، آلکالوئید پورین‌های مشتق شده از گزانتین هستند که از توزیع گسترده‌ای در گیاهان برخوردارند و به مقدار زیادی در برگ چای، دانه‌های قهوه و کاکائو یافت می‌شوند (Fredholm, 2010). این ترکیبات طبیعی قادر هستند، از سد خونی - مغزی عبور کرده و سیستم عصبی مرکزی و محیطی را تحریک کنند. بنابراین آلکالوئید گزانتین‌ها به عنوان محرک‌های روان‌گردان خفیف شناخته شده و معمولاً از اجزای تشکیل دهنده بسیاری از داروها محسوب می‌شوند (Monteiro et al., 2016).

در چندین دهه اخیر، تئوفیلین جهت مصارف بالینی استفاده می‌شود و در غلظت‌های مناسب درمانی، دارای اثرات ضدالتهابی و ایمنی‌کننده است. شواهد زیادی مبنی بر اینکه تئوفیلین، برای درمان بیماری‌های ریوی انسدادی و آسم شدید یک عامل سودمند است، وجود دارد (Barnes, 2013; Dubuis et al., 2014; Hosseini et al., 2021). التهاب اصلی‌ترین ناهنجاری در بیماران آسمی است و تئوفیلین به دلیل خاصیت ضدالتهابی، از جابه‌جایی فاکتور هسته‌ای تقویت‌کننده زنجیره سبک کاپای سلول‌های B فعال شده (Nuclear Factor Kappa-light-chain-enhancer of activated B cells or NF- $\kappa$ B) که مسئول رونویسی ژن‌های التهابی است، جلوگیری می‌کند. در نتیجه بیان این ژن‌ها را در آسم کاهش می‌دهد (Zhong et al., 2017; Lawrence, 2009). این ترکیب گزانتینی بر سلول‌های ایمنی نیز تأثیر می‌گذارد، به این ترتیب که وقتی سلول‌های تک هسته‌ای پریفرال خون و ماکروفاژهای ریوی، در معرض غلظت‌های مناسب تئوفیلین قرار می‌گیرند، سوپراکسیدهای کمتری ترشح می‌کنند. همچنین تئوفیلین خوراکی، فعالیت باکتریایی و رهاسازی هیدروژن پراکسید ( $H_2O_2$ ) از ماکروفاژهای حفره دار را کاهش می‌دهد، در نتیجه با این کار بر ایمنی بدن افزوده و به پاکسازی بدن از ROS ها کمک می‌کند (Barnes, 2003; Fricker & Gibson, 2004). علاوه بر تأثیرات مفید

تنظیمی وابسته به فسفودی‌استراز مرتبط است که تسوبرومین به طور فعال از طریق تعامل با PDE4D (یک ایزوفرم از فسفودی‌استراز ۴) فعالیت آن را در بافت‌های چربی و سلول‌های تقویت کننده انرژی مهار می‌کند (Jang et al., 2017; Mitani et al., 2020). با وجود اثرات مفیدی که تسوبرومین بر بدن دارد، استفاده بیش از حد آن می‌تواند منجر به بی‌اشتهایی، تحریک معده، حالت تهوع و استفراغ شود (Baggott et al., 2013).

باتوجه به مطالب ذکر شده، آکالوئید گزانتین‌های مهمی چون تیوفیلین و تسوبرومین، جزء اساسی تشکیل دهنده نوشیدنی‌های رایجی مثل قهوه، چای و نوشابه‌های گازدار هستند. طبق مطالعات پیشین، این ترکیبات پورینی با توجه به غلظت‌های مصرفی، قابلیت تأثیر مفید و مضر بر قسمت‌های مختلف بدن از جمله آنزیم‌ها را دارند. از طرفی پراکسیداز یکی از اجزای مهم سیستم دفاعی آنتی‌اکسیدانی است. بنابراین در پژوهش حاضر، اثر احتمالی ترکیبات متیله گزانتینی مذکور بر فعالیت طبیعی آنزیم پراکسیداز بررسی شد.

## مواد و روش‌ها

### مواد شیمیایی

مواد مورد استفاده در این پژوهش عبارتند از آنزیم پراکسیداز از گونه *Arthromyces ramosus*، تیوفیلین، تسوبرومین و ۴-آمینوآنتی‌پیرین که از شرکت Sigma خریداری شدند. فنل از شرکت مرک و هیدروژن پراکسید ۳۰ درصد از صنایع شیمیایی دکتر مجلی تهیه شد. بافر پتاسیم فسفات جهت سنجش فعالیت آنزیم در محیط آزمایشگاه آماده شد. از دستگاه اسپکتروفتومتر UV-Visible از شرکت Pharmacia مدل ۳۰۰۰ Ultrospec جهت خواندن جذب واکنش آنزیمی استفاده شد.

### سنجش فعالیت آنزیم پراکسیداز

برای سنجش فعالیت سینتیکی آنزیم پراکسیداز، از روش مورد استفاده توسط محققین پیشین با کمی اصلاحات، استفاده گردید (Ferreira et al., 2010). بنابراین محلولی حاوی ۳۴۰ میکرولیتر فنل ۰/۱۷ مولار، ۱/۷ میکرولیتر هیدروژن پراکسید ۱/۷ میلی‌مولار، به همراه ۴-آمینوآنتی‌پیرین ۲/۵ میلی‌مولار با غلظت متغیر (۱، ۲، ۳، ۵، ۸، ۱۵، ۲۰، ۳۰، ۵۰، ۱۰۰ میکرومولار) و بافر پتاسیم فسفات ۰/۲ مولار (pH=7.2) تهیه شد و در نهایت یک میکرولیتر از آنزیم پراکسیداز به محلول اضافه گردید. فعالیت آنزیم پراکسیداز به روش کینتیک با استفاده از دستگاه اسپکتروسکوپی جذبی مورد سنجش قرار گرفت. در این سنجش آنزیمی جذب محصول رنگی کینونیمین،

تیوفیلین بر بدن، مصرف بیش از حد آن می‌تواند منجر به بی‌خوابی، ناراحتی‌های دستگاه گوارش، افت فشار خون، استفراغ، حالت تهوع شدید، آریتمی قلبی و تشنج شود (Zhong et al., 2017).

تسوبرومین نیز همانند تیوفیلین قدمتی طولانی در مصارف بالینی دارد، به عنوان مثال تسوبرومین در غلظت مصرفی مناسب از فعال‌سازی نامناسب عصب واگ که یکی از ویژگی‌های اصلی سرفه مداوم است، جلوگیری می‌کند. بنابراین، می‌توان از آن به عنوان دارویی مفید برای درمان سرفه مزمن استفاده نمود (Morice et al., 2017). همچنین تسوبرومین دارای دو خصوصیت آنتی‌اکسیدانی و پرواکسیدانی بوده و همانند سایر آکالوئید پورین‌های گزانتینی مانند کافئین و تیوفیلین به عنوان یک محرک بسیار ملایم سیستم عصبی مرکزی (Central Nervous System or CNS) عمل می‌کند. اثر محرک تسوبرومین کمتر از تیوفیلین و کافئین است، اما نیمه عمر بیشتری در بدن دارد. از این‌رو می‌تواند اثرات طولانی‌تری بر بدن داشته باشد (Baggott et al., 2013; Mitchell et al., 2011; Shanahan et al., 2019). این ترکیب به دلیل ادرارآور بودن و توانایی‌اش در گشاد کردن عروق خونی، در مواردی مثل نارسایی قلبی که منجر به تجمع مایعات در بدن می‌شود و همچنین برای درمان فشار خون مورد استفاده قرار می‌گیرد (Cova et al., 2019).

مصرف تسوبرومین باعث افزایش آپولیپوپروتئین A-1 (APO A1) و HDL کلسترول در خون انسان می‌شود. آپولیپوپروتئین A-1، پروتئین اصلی HDL است که باعث ورود کلسترول از سلول‌ها به HDL می‌گردد و در صورت کمبود یا ناقص بودن این پروتئین، HDL نمی‌تواند عمل اصلی خود، یعنی انتقال کلسترول از سلول‌ها به کبد را انجام دهد. در نتیجه APO A1 خطر گرفتگی رگ‌های کرونر قلبی را کاهش داده و در مقابل آن اثری محافظت کننده دارد. همچنین، این ترکیب گزانتینی به طور انتخابی با گیرنده آدنوزین A1 (AR1) ارتباط برقرار کرده و از طریق مهار پیام رسان AR1 باعث تخریب C/EBP (CCAAT-Enhancer-Binding Protein) می‌شود، در نتیجه تمایز سلول‌های چربی را مهار می‌کند. C/EBP خانواده‌ای چند عضوی از فاکتورهای رونویسی است، که بیان ژن‌های خاصی چون ژن‌های درگیر در متابولیسم را تقویت می‌کند (Neufingerl et al., 2013). تسوبرومین به عنوان یک ماده طبیعی قدرتمند، با قهوه‌ای شدن چربی سفید و فعال‌سازی سلول‌های چربی قهوه‌ای، چاقی ناشی از رژیم غذایی را کاهش می‌دهد. علاوه بر این، اثر ضد چاقی آن به یک مسیر

محل تقاطع با محور  $Y$  ( $1/V_{max}$ ) و محور  $X$  ( $-1/K_m$ ) متغیر است. بنابراین با توجه به آن، پارامترهای سینتیکی  $V_{max}$  و  $K_m$  در حضور و فقدان هر یک از مهارکننده‌ها محاسبه گردید و مشاهده شد که مقادیر  $K_m$  و  $V_{max}$  با افزایش غلظت مهارکننده کاهش می‌یابند. مقادیر به‌دست آمده برای پارامترهای سینتیکی در جدول ۱ باهم مقایسه شده است. جهت تعیین دقت و درستی مقادیر  $K_m$  و  $V_{max}$  محاسبه شده توسط لاینیور - برک، نمودار هانس- ولف در حضور و فقدان غلظت  $IC_{50}$  هر یک از مهارکننده‌ها ترسیم شد و مقادیر  $K_m$  (ثابت میکائیلیس - منتن نام دارد و به‌عنوان غلظتی از سوبسترا که در آن غلظت، سرعت واکنش به اندازه نصف سرعت حداکثر است، تعریف می‌شود. همچنین، تمایل اتصال آنزیم به مهارکننده را نشان می‌دهد) و  $V_{max}$  (سرعت حداکثر واکنش است که در غلظت اشباع سوبسترا مشاهده می‌شود) برای هر دو مهارکننده به‌دست آمد (Cornish-Bowden, 2013). در نهایت مشاهده شد که مقادیر  $K_m$  و  $V_{max}$  به‌دست آمده از طریق نمودار هانس - ولف و لاینیور - برک، معادل هم بوده و دقیقاً یکدیگر را تأیید می‌کنند که این نتیجه، بالا بودن دقت آزمایش را نشان می‌دهد. نمودار هانس - ولف و ثابت‌های سینتیکی حاصل از آن در این مقاله ذکر نشده است. طبق اطلاعات پیشین، نمودار لاینیور - برک برای تشخیص مهار جزئی و کامل از یکدیگر مناسب نیست، زیرا این نمودار برای هر دو مورد به صورت خطی است. از این رو یکی از بهترین راه‌های تشخیص مهار جزئی از مهار کامل، نمودار دیکسون ( $1/V$ ) در برابر  $[I]$  است (Copeland, 2000). بنابراین، نمودار دیکسون در حضور غلظت‌های مختلفی از تئوبرومین و تیوفیلین رسم شده است (شکل‌های ۴، ۵).

#### تعیین مقادیر $K_i$ و $IC_{50}$

با توجه به نمودار اثر مهاری (شکل ۱) و نمودار غلظت - پاسخ (شکل ۶)، مقادیر  $IC_{50}$  برای تئوبرومین  $0.5$  میلی‌مولار و برای تیوفیلین  $0.55$  میلی‌مولار تخمین زده شد. همچنین ثابت مهاری ( $K_i$ )، از روی نمودار ثانویه (شکل ۷) برای هر یک از مهارکننده‌ها تعیین شد، که مقدار  $K_i$  برای تئوبرومین و تیوفیلین به ترتیب  $0.03$  و  $0.045$  میلی‌مولار به‌دست آمد. ثابت مهاری ( $K_i$ )، میزان تمایل آنزیم به مهارکننده را نشان می‌دهد. بنابراین اگر مقدار آن برای مهارکننده‌ای کمتر باشد، تمایل مهارکننده برای اتصال به آنزیم بیشتر بوده و با قدرت بیشتری به آنزیم متصل می‌شود (Purich, 2010). مقادیر  $IC_{50}$  و  $K_i$  برای هر دو مهارکننده در جدول ۲ بیان شده است.

حاصل از اکسایش ۴-آمینوآنتی‌پیرین در حضور همزمان فنل و هیدروژن پراکسید، در طول موج  $510$  نانومتر و دمای  $25$  درجه سانتیگراد، به مدت  $3$  دقیقه اندازه‌گیری شد (Sariri et al., 2006). در نهایت با توجه به اطلاعات به‌دست آمده، منحنی میکائیلیس - منتن و لاینیور - برک رسم شد و به موازات آن ثابت‌های سینتیکی  $K_m$  و  $V_{max}$  در فقدان هر یک از مهارکننده‌ها محاسبه گردید. شایان ذکر است، که هر مرحله از آزمایش سه مرتبه تکرار شده است.

#### بررسی مهار آنزیمی

در این آزمایش، جهت تعیین تأثیر ترکیبات ذکر شده بر فعالیت آنزیم پراکسیداز، غلظت فنل، هیدروژن پراکسید و ۴-آمینوآنتی‌پیرین (غلظت اشباع سوبسترا معادل  $100$  میکرومولار) در تمام سنجش‌ها ثابت و غلظت مهارکننده متغیر در نظر گرفته شد. برای تئوبرومین از غلظت‌های  $0.15$  الی  $2$  میلی‌مولار استفاده شد و در مورد تیوفیلین نیز غلظت‌های  $0.15$  الی  $1/5$  میلی‌مولار مورد استفاده قرار گرفت. همان‌گونه که پیش‌تر بیان شد، هر مرحله از آزمایش سه مرتبه تکرار گردید و براساس نتایج به‌دست آمده، مشاهده شد که فعالیت آنزیم پراکسیداز در حضور هر یک از دو مهارکننده کاهش یافته است. در نهایت با توجه به اطلاعات کسب شده، نمودارهای مهاری و غلظت - پاسخ برای هر یک از دو مهارکننده رسم گردید.

#### محاسبات سینتیکی

با توجه به نمودار غلظت - پاسخ، مقادیر  $IC_{50}$  برای هر یک از دو مهارکننده محاسبه شد. از طرفی برای تعیین الگوی مهار و مقادیر پارامترهای سینتیکی  $K_m$  و  $V_{max}$ ، فعالیت آنزیمی در حضور غلظت‌های مختلف سوبسترا ( $1$  الی  $100$  میکرومولار) و غلظت ثابت هر یک از مهارکننده‌ها سنجش شد. سپس، نمودارهای میکائیلیس - منتن و لاینیور - برک ترسیم گردید. همچنین برای تخمین زدن مقدار ثابت مهاری ( $K_i$ )، در حضور هر یک از مهارکننده‌ها، نمودار ثانویه رسم شد. در نهایت، برای تعیین جزئی یا کامل بودن مهار، نمودار دیکسون، رسم گردید.

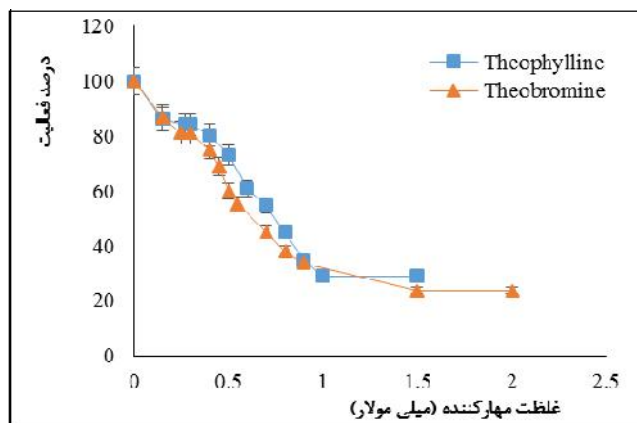
#### نتایج

##### فعالیت پراکسیداز

فعالیت پراکسیداز در غلظت‌های مختلف هر یک از مهارکننده‌ها اندازه‌گیری شد. براساس نتایج به‌دست آمده، با افزایش غلظت هر یک از این ترکیبات، کاهش بیشتری در فعالیت آنزیم مشاهده گردید (شکل ۱).

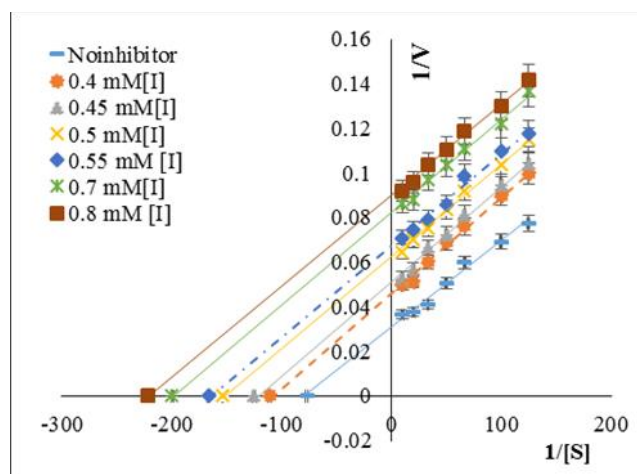
##### تعیین پارامترهای سینتیکی $V_{max}$ ، $K_m$

براساس نمودارهای لاینیور - برک (شکل‌های ۲، ۳)، با زیاد شدن غلظت مهارکننده شیب نمودار همواره ثابت بوده، اما



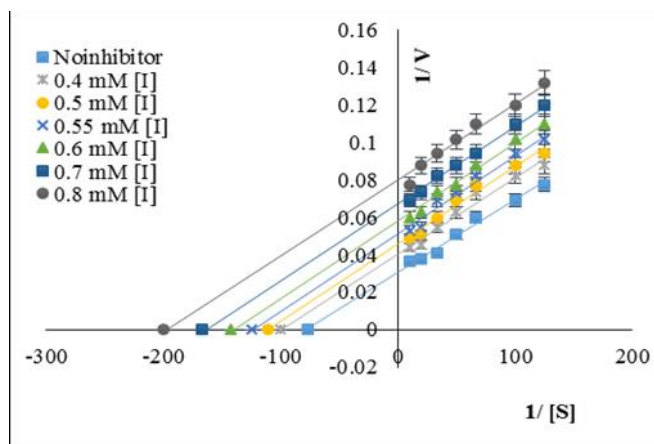
شکل ۱- فعالیت پراکسیداز در غلظت‌های مختلف تئوبرومین و تئوفیلین.

**Figure 1.** Peroxidase activity in the different concentrations of theobromine and theophylline.



شکل ۲- نمودار لاینویور - برک در حضور و فقدان تئوبرومین.

**Figure 2.** Lineweaver-Burk plot in the presence and absence of theobromine.



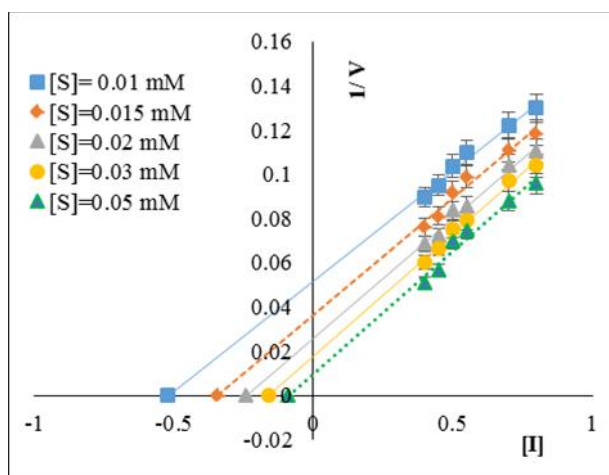
شکل ۳- نمودار لاینویور - برک در حضور و فقدان تئوفیلین.

**Figure 3.** Lineweaver-Burk plot in the presence and absence of theophylline.

جدول ۱- مقایسه مقادیر  $V_{max}$  و  $K_m$  به دست آمده، از نمودار لاینویور - برک در غلظت‌های مختلف تیوفیلین و تیوبرومین.

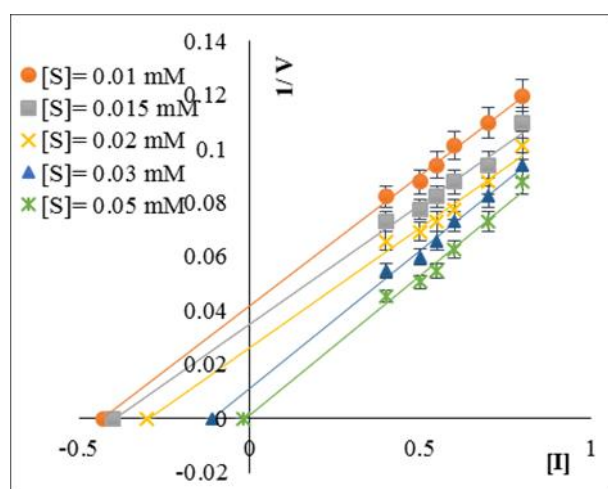
**Table 1.** Comparison of the  $K_m$  and  $V_{max}$  values, from Lineweaver-Burk plots in the different concentrations of theophylline and theobromine.

0.8	0.7	0.6	0.55	0.5	0.4	0	<b>Theophylline(mM)</b>
0.005	0.006	0.007	0.008	0.009	0.010	0.013	<b><math>K_m</math> (mM)</b>
12.886	15.267	17.857	19.801	21.834	24.509	31.948	<b><math>V_{max}</math> (<math>\mu\text{mol}/\text{min}</math>)</b>
0.8	0.7	0.55	0.5	0.45	0.4	0	<b>Theobromine(mM)</b>
0.0045	0.005	0.006	0.0065	0.008	0.009	0.013	<b><math>K_m</math> (mM)</b>
11.299	12.303	15.083	16.313	20.202	22.321	31.948	<b><math>V_{max}</math> (<math>\mu\text{mol}/\text{min}</math>)</b>



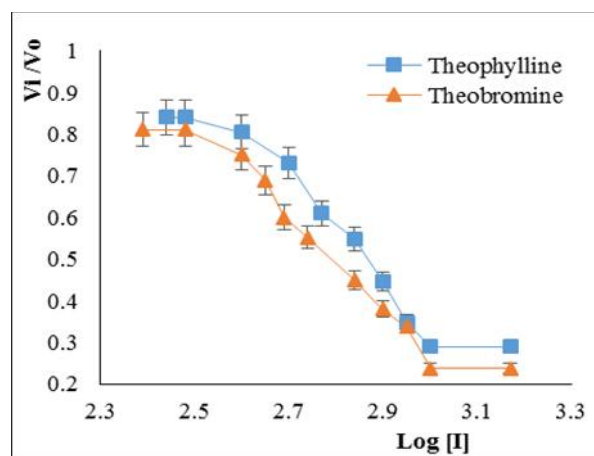
شکل ۴- نمودار دیکسون در حضور و فقدان تیوبرومین.

**Figure 4.** Dixon plots in the presence and absence of theobromine.



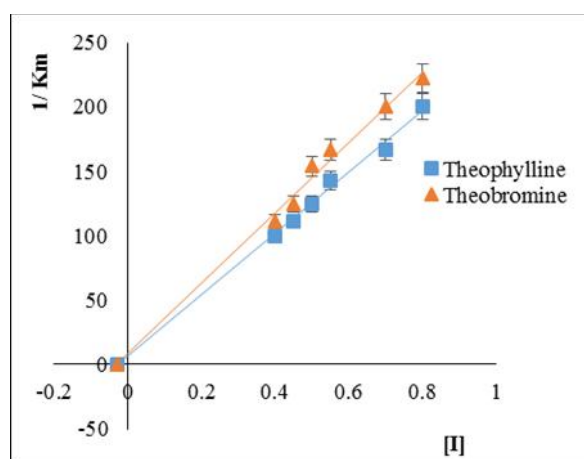
شکل ۵- نمودار دیکسون در حضور و فقدان تیوفیلین.

**Figure 5.** Dixon Plots in the presence and absence of theophylline.



شکل ۶- نمودار غلظت - پاسخ پراکسیداز در حضور تئوفیلین و تئوبرومین.

Figure 6. The Dose-Response plot of peroxidase in presence of theophylline and theobromine.

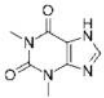
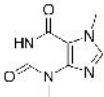


شکل ۷- نمودار ثانویه پراکسیداز در حضور تئوفیلین و تئوبرومین.

Figure 7. The Secondary Plot of Peroxidase in Presence of theophylline and theobromine.

جدول ۲- مقایسه مقادیر  $IC_{50}$  و  $K_i$  تئوفیلین و تئوبرومین.

Table 2. Comparison of the  $IC_{50}$  and  $K_i$  values calculated for theophylline and theobromine.

Inhibitor	Chemical structure	$IC_{50}$ (mM)	$K_i$ (mM)
Theophylline		0.55	0.045
Theobromine		0.5	0.03

مهارکننده‌ها (شکل‌های ۲، ۳) و تغییرات کاهشی مقادیر  $K_m$  و  $V_{max}$  متناسب با افزایش غلظت مهارکننده (جدول ۱) می‌توان چنین عنوان نمود که تئوبرومین و تئوفیلین با تبعیت از یک مکانیسم مهارى نارقابتي، فعالیت آنزیم را به طور محسوسی کاهش می‌دهند. زیرا هر یک از ترکیبات ذکر شده قادر هستند، فقط به کمپلکس پراکسیداز - ۴-آمینوآنتی‌پیرین (آنزیم -

## بحث

غلظت مصرفی متیل‌گزانتین‌هایی همچون تئوفیلین و تئوبرومین که روزانه به طور گسترده مصرف می‌شوند، در مهار فعالیت آنزیمی حائز اهمیت هستند (Martínez-Pinilla et al., 2015; Wikiera et al., 2012). در این مطالعه، براساس پارامترهای سینتیکی  $V_{max}$  و  $K_m$  محاسبه شده از طریق نمودار لاینویور - برک برای هر یک از

(al., 2019). از این رو، می‌توان تفاوت در قدرت مهار را به ساختار کلی هر مهارکننده نسبت داد.

از طرفی، در پژوهش حاضر برای تعیین نوع مهار از نمودار دیکسون به عنوان روشی بسیار ارزشمند استفاده گردید و براساس نتایج به دست آمده نوع مهار از نوع کامل تشخیص داده شد، زیرا نمودار دیکسون در حضور هر یک از دو مهارکننده به صورت خطی است. طبق توضیحاتی که پیش تر گفته شد، نمودار دیکسون فقط در زمانی که مهار کامل باشد از الگوی خطی تبعیت می‌کند و در صورت جزئی بودن مهار، به صورت هذلولی است (Copeland, 2000; Yoshino & Murakami, 2009).

نتایج به دست آمده از این تحقیق، با یافته‌های گروهی از محققان که تأثیر کافئین را بر آنزیم‌های آنتی‌اکسیدانی کبد موش، مورد بررسی قرار دادند، مشابهت دارد. این پژوهشگران مشاهده کردند، که کافئین بر آنزیم کاتالاز و سوپراکسید دیسموتاز اثری مهار را دارد و فعالیت آن‌ها را به طور قابل توجهی کاهش می‌دهد (Sung et al., 2004). در مطالعه دیگری، اثر آلکالوئیدهای گزانتینی مثل تئوبرومین، تئوفیلین و کافئین بر فعالیت گزانتین اکسیداز شیر، کبد، شش و قلب موش بررسی شده است، که نشان می‌دهد هر کدام از این ترکیب‌ها بر فعالیت آنزیم گزانتین اکسیداز اثر مهار داشته و مکانیسم مهار برای هر سه مهارکننده از نوع رقابتی است. علاوه بر این، با توجه به مقادیر  $K_i$  این ترکیبات، تئوفیلین بیشترین قدرت اتصال به آنزیم را از خود نشان می‌دهد، در حالی که تئوبرومین در جایگاه دوم قرار گرفته و کمترین قدرت اتصال نیز مربوط به کافئین است (Bae et al., 2015).

از مطالعات مشابه دیگری که در این زمینه انجام شده است، بررسی تأثیر متیل گزانتین‌هایی چون کافئین، تئوفیلین و پنتوکسی‌فیلین بر فعالیت آلکالین فسفاتاز است. نتایج حاصل شده از این تحقیق، حاکی از آن است که هر سه ترکیب بر فعالیت آنزیم، اثری کاهشی داشته و آن را به طور ناقابتی مهار می‌کنند که تئوفیلین در مقایسه با سایر متیل گزانتین‌ها اثر کاهشی بیشتری دارد (Glogowski et al., 2002). همچنین در تحقیقی دیگر، تأثیر کافئین بر آنزیم‌های ترانسفراز از جمله گاماگلوتامیل ترانسفراز (GGT)، گلوتامات پیروات ترانس آمیناز (GPT) و گلوتامات اگزالوستات ترانس آمیناز (GOT) بررسی شده است. این مطالعه نشان می‌دهد که کافئین با وجود اینکه برای آنزیم‌های گلوتامات اگزالوستات ترانس آمیناز و گلوتامات پیروات ترانس آمیناز به عنوان فعال کننده عمل می‌کند و فعالیت آن‌ها را افزایش می‌دهد، آنزیم گاما گلوتامیل ترانسفراز را با مکانیسم غیررقابتی مهار می‌کند (Al-Qaisi et al., 2011). تأثیر کافئین بر مونوآمین اکسیداز توسط گروهی دیگر از محققین

پیش ماده) و به جایگاهی متفاوت از جایگاه فعال پراکسیداز متصل شوند. در نتیجه در حضور هر یک از این ترکیبات گزانتینی، ۴-آمینوآنتی پیرین به عنوان پیش ماده اصلی قادر است بعد از اتصال به پراکسیداز، ساختار آنزیم را به گونه‌ای تغییر دهد که جایگاه اتصالی مهارکننده در دسترس آن قرار گیرد. بدین ترتیب میل ترکیبی پراکسیداز به تئوفیلین یا تئوبرومین افزایش یافته و مقدار  $K_m$  کاهش می‌یابد. در نهایت یک کمپلکس سه تایی مرده و بی حاصل شامل پراکسیداز، ۴-آمینوآنتی پیرین و ترکیب گزانتینی مورد نظر شکل گرفته و واکنش آنزیمی مهار می‌گردد، که این امر علت کاهش  $V_{max}$  است.

از طرفی، براساس مقادیر  $K_i$  تعیین شده از طریق نمودار ثانویه (شکل ۷)، که مقدار  $K_i$  برای تئوبرومین کمتر از تئوفیلین تخمین زده شده است. همچنین، با توجه به تعریف ثابت مهار  $(K_i)$ ، که میزان تمایل آنزیم به مهارکننده را نشان می‌دهد و مقدار عددی آن همواره با قدرت اتصال مهارکننده به آنزیم ارتباطی معکوس دارد (Cook & Bisswanger, 2017; Cleland, 2007). چنین به نظر می‌رسد که تمایل و قدرت اتصال تئوبرومین به کمپلکس آنزیم - پیش ماده بیشتر از تئوفیلین است. علاوه بر این، از آنجا که مقدار  $IC_{50}$  به دست آمده از طریق نمودار غلظت - پاسخ (شکل ۶) برای تئوبرومین در مقایسه با تئوفیلین کمتر است، می‌توان چنین استنباط نمود که تئوبرومین احتمالاً در مقایسه با تئوفیلین دارای قدرت مهار بیشتری است. زیرا  $IC_{50}$ ، به عنوان غلظتی از مهارکننده که در آن غلظت، فعالیت آنزیم به اندازه نصف کاهش یافته است، تعریف می‌شود و همواره بین مقدار  $IC_{50}$  و قدرت مهار مهارکننده رابطه‌ای عکس برقرار است (Bisswanger, 2017).

جهت توجیه توانایی بالای تئوبرومین برای اتصال به کمپلکس آنزیم - پیش ماده و قدرت مهار بیشتری آن، با توجه به ساختار شیمیایی این مهارکننده‌ها، می‌توان چنین پیشنهاد داد که بیشتر بودن قدرت مهار تئوبرومین در مقایسه با تئوفیلین، ممکن است به گروه‌های حجیم در جایگاه‌های  $N_1$ ،  $N_3$  و  $N_7$  مرتبط باشد. زیرا اتم‌های  $N_3$  و  $N_7$  پورین‌ها دارای یک نقش ضروری، جهت تشخیص مهارکننده توسط آنزیم و تمایل اتصال به آن هستند. با این وجود، کاملاً آشکار است که متیلاسیون گزانتین در موقعیت‌های ۳ و ۷ برای مهار لازم و ضروری است. از طرفی اتم‌های  $C_6-N_7-C_8$  باز پورینی به طور ویژه برای شناسایی توسط آنزیم مهم هستند، که به شدت با آنزیم تعامل دارند. بنابراین، جایگزینی یک گروه متیل در جایگاه  $N_7$  پورین‌ها از اهمیت بیشتری برخوردار است (Ataei et al., 2007; Shanahan et al., 2007).



## REFERENCES

- Agidighi, T.S. & Kim, C.** 2019. Reactive oxygen species in osteoclast differentiation and possible pharmaceutical targets of ROS-mediated osteoclast diseases. *International Journal of Molecular Sciences* 20: 3576-3592.
- Al-Qaisi, Z.H.J., Abbass, S.A.R. & Abdullah, A.H.** 2011. Effect of caffeine on some transferase enzymes activities. *International Journal of Chemistry* 3: 140-148.
- Ataie, G., Bagheri, S., Divsalar, A., Sabouri, A., Safarian, S., Namaki, S. & Mousavi, M.A.A.** 2007. A kinetic comparison on the inhibition of adenosine deaminase by purine drug. *Iranian Journal of Pharmaceutical Research* 6: 43-50. (In Persian).
- Bae, J., Park, P.S., Chun, B.Y., Choi, B.Y., Kim, M.K., Shin, M.H., Lee, Y.H., Shin, D.H. & Kim, S.K.** 2015. The effect of coffee, tea, and caffeine consumption on serum uric acid and the risk of hyperuricemia in Korean multi-rural communities Cohort. *Rheumatology International* 35: 327-336.
- Baggott, M.J., Childs, E., Hart, A.B., de Bruin, E., Palmer, A.A., Wilkinson, J.E. & de Wit, H.** 2013. Psychopharmacology of theobromine in healthy volunteers. *Psychopharmacology* 228: 109-118.
- Barnes, P.J.** 2003. Theophylline: new perspectives for an old drug. *American Journal of Respiratory and Critical Care Medicine* 167: 813-818.
- Barnes, P.J.** 2004. Alveolar macrophages as orchestrators of COPD. *Journal of Chronic Obstructive Pulmonary Disease* 1: 59-70.
- Barnes, P.J.** 2013. Theophylline. *American Journal of Respiratory and Critical Care Medicine* 188: 901-906.
- Bisswanger, H.** 2017. *Enzyme kinetics: principles and methods.* John Wiley & Sons, 316 pp.
- Conesa, A., Punt, P.J. & van den Hondel, C.A.** 2002. Fungal peroxidases: molecular aspects and applications. *Journal of Biotechnology* 93: 143-158.
- Cook, P.F. & Cleland, W.W.** 2007. *Enzyme kinetics and mechanism:* Garland Science, 403 pp.
- Copeland, R.A.** 2000. *Enzymes: a practical introduction to structure, mechanism, and data analysis.* John Wiley & Sons, 411 pp.
- Cornish-Bowden, A.** 2013. *Fundamentals of enzyme kinetics.* John Wiley & Sons, 516 pp.
- Cova, I., Leta, V., Mariani, C., Pantoni, L. & Pomati, S.** 2019. Exploring cocoa properties: is theobromine a cognitive modulator? *Psychopharmacology* 236: 561-572.
- Davies, J.M., Cillard, J., Friguet, B., Cadenas, E., Cadet, J., Cayce, R., Fishmann, A., Liao, D., Bulteau, A.L. & Derbré, F.** 2017. The Oxygen Paradox, the French Paradox, and age-related diseases. *GeroScience* 39: 499-550.
- Dubuis, E., Wortley, M.A., Grace, M.S., Maher, S.A., Adcock, J.J., Birrell, M.A. & Belvisi, M.G.** 2014. Theophylline inhibits the cough reflex through a novel mechanism of action. *Journal of Allergy and Clinical Immunology* 133: 1588-1598.
- Ferreira, L.C., Cataneo, A.C., Remaeh, L.M.R., Corniani, N., de Fátima Fumis, T., de Souza, Y.A., Scavroni, J. & Soares, B.J.A.** 2010. Nitric oxide reduces oxidative stress generated by lactofen in soybean plants. *Pesticide Biochemistry and Physiology* 97: 47-54.
- مورد بررسی قرار گرفت و مشاهده کردند که کافئین با مکانیسمی از نوع رقابتی فعالیت آنزیم را کاهش داده و آن را مهار می‌کند (Petzer et al., 2013). در سال ۲۰۱۹ محققین، اثر مهاری تئوبرومین و متیل‌گزانترین‌های مرتبط را بر روی آمین‌اکسیداز اولیه بررسی کردند. طبق نتایج به‌دست آمده، الگوی مهاری برای همه متیل‌گزانترین‌ها از نوع غیررقابتی تشخیص داده شد. همچنین، مقدار  $K_i$  محاسبه شده برای تئوبرومین به طور قابل توجهی پایین‌تر از متیل‌گزانترین‌های دیگر به‌دست آمد، که این امر قدرت مهاری بیشتر تئوبرومین را اثبات کرده است (Shanahan et al., 2019).

## نتیجه گیری

براساس نتایج به‌دست آمده در تحقیق حاضر، به نظر می‌رسد که آلکالوئید پورین‌های گیاهی مثل تئوفیلین و تئوبرومین در صورت مصرف در غلظت‌های بالاتر از حد مجاز، قادر هستند فعالیت بسیاری از آنزیم‌های اساسی از جمله پراکسیداز را مهار کنند. علاوه بر این، اختلال در عملکرد آنزیم حیاتی پراکسیداز به نوبه خود می‌تواند بدن را برای بروز ناهنجاری‌هایی چون استرس اکسیداتیو و در نهایت سرطان مستعدتر سازد. در نتیجه، با توجه به مقادیر  $IC_{50}$  و  $K_i$  به‌دست آمده برای هر یک از دو مهارکننده، چنین استنباط می‌شود که تئوبرومین در مقایسه با تئوفیلین، به دلیل داشتن مقادیر  $IC_{50}$  و  $K_i$  کمتر، احتمالاً اثر منفی قوی‌تری بر فعالیت پراکسیداز دارد. بنابراین تئوبرومین نسبت به تئوفیلین مهارکننده قوی‌تری بوده و فعالیت پراکسیداز را به مقدار بیشتری کاهش می‌دهد.

## سپاسگزاری

نگارندگان مقاله از مساعدت دانشگاه گیلان در انجام این پژوهش، تشکر و قدردانی می‌نمایند.

- Fredholm, B.B.** 2010. Methylxanthines. Springer Science & Business Media, 554 pp.
- Fricke, M. & Gibson, P.G.** 2017. Macrophage dysfunction in the pathogenesis and treatment of asthma. *European Respiratory Journal* 50: 1-16.
- Gammella, E., Recalcati, S. & Cairo, G.** 2016. Dual role of ROS as signal and stress agents: iron tips the balance in favor of toxic effects. *Oxidative Medicine and Cellular Longevity* 16: 1-9.
- Glogowski, J., Danforth, D.R. & Ciereszko, A.** 2002. Inhibition of alkaline phosphatase activity of boar semen by pentoxifylline, caffeine, and theophylline. *Journal of Andrology* 23: 783-792.
- Hosseini, S.M., Ajmal, M. & Shetty, R.** 2021. Symptomatic supraventricular tachycardia resistant to adenosine therapy in a patient with chronic theophylline use. *Case Reports in Cardiology* 21: 1-4.
- Jang, M.H., Mukherjee, S., Choi, M.J., Kang, N.H., Pham, H.G. & Yun, J.W.** 2020. Theobromine alleviates diet-induced obesity in mice via phosphodiesterase-4 inhibition. *European Journal of Nutrition* 59: 3503-3516.
- Lawrence, T.** 2009. The nuclear factor NF- $\kappa$ B pathway in inflammation. *Cold Spring Harbor Perspectives in Biology* 1: 1-10.
- Liguori, I., Russo, G., Curcio, F., Bulli, G., Aran, L., Della-Morte, D., Gargiulo, G., Testa, G., Cacciatore, F., Bonaduce, D. & Abete, P.** 2018. Oxidative stress, aging, and diseases. *Clinical Interventions in Aging* 13: 757-772.
- Martínez-Pinilla, E., Oñatibia-Astibia, A. & Franco, R.** 2015. The relevance of theobromine for the beneficial effects of cocoa consumption. *Frontiers in Pharmacology* 30: 1-6.
- Mitani, T., Watanabe, S., Yoshioka, Y., Katayama, S., Nakamura, S. & Ashida, H.** 2017. Theobromine suppresses adipogenesis through enhancement of CCAAT-enhancer-binding protein degradation by adenosine receptor A1. *Biochimica et Biophysica Acta (BBA)-Molecular Cell Research* 1864: 2438-2448.
- Mitchell, E., Slettenaar, M., Vd Meer, N., Transler, C., Jans, L., Quadt, F. & Berry, M.** 2011. Differential contributions of theobromine and caffeine on mood, psychomotor performance and blood pressure. *Physiology and Behavior* 104: 816-822.
- Monteiro, J.P., Alves, M.G., Oliveira, P.F. & Silva, B.M.** 2016. Structure-bioactivity relationships of methylxanthines: trying to make sense of all the promises and the drawbacks. *Molecules* 21: 974-1006.
- Morice, A.H., McGarvey, L., Pavord, I.D., Higgins, B., Chung, K.F. & Biring, S.S.** 2017. Theobromine for the treatment of persistent cough: a randomised, multicentre, double-blind, placebo-controlled clinical trial. *Journal of Thoracic Disease* 9: 1864-1872.
- Neufingerl, N., Zebregs, Y.E., Schuring, E.A. & Trautwein, E.A.** 2013. Effect of cocoa and theobromine consumption on serum HDL-cholesterol concentrations: a randomized controlled trial. *The American Journal of Clinical Nutrition* 97: 1201-1209.
- Perillo, B., Di Donato, M., Pezone, A., Di Zazzo, E., Giovannelli, P., Galasso, G., Castoria, G. & Migliaccio, A.** 2020. ROS in cancer therapy: the bright side of the moon. *Experimental & Molecular Medicine* 52: 192-203.
- Petzer, A., Pienaar, A. & Petzer, J.P.** 2013. The interactions of caffeine with monoamine oxidase. *Life Sciences* 93: 283-287.
- Pisoschi, A.M. & Pop, A.** 2015. The role of antioxidants in the chemistry of oxidative stress: A review. *European Journal of Medicinal Chemistry* 97: 55-74.
- Purich, D.L.** 2010. Enzyme kinetics: catalysis and control: a reference of theory and best-practice methods. Elsevier, 915 pp.
- Sariri, R., Sajedi, R. & Jafarian, V.** 2006. Inhibition of horseradish peroxidase activity by thiol type inhibitors. *Journal of Molecular Liquids* 123: 20-23. (In Persian).
- Shanahan, P., O'Sullivan, J., Tipton, K.F., Kinsella, G.K., Ryan, B.J. & Henehan, G.T.** 2019. Theobromine and related methylxanthines as inhibitors of Primary Amine Oxidase. *Journal of Food Biochemistry* 43: 1-7.
- Srinivas, U.S., Tan, B.W., Vellayappan, B.A. & Jeyasekharan, A.D.** 2019. ROS and the DNA damage response in cancer. *Redox Biology* 25: 1-32.
- Sung, J.H., Chang, C.C. & Chang, Y.S.** 2004. The effect of caffeine on the antioxidative activities of mouse liver. *The Korean Journal of Food and Nutrition* 17: 442-449.
- Valko, M., Rhodes, C., Moncol, J., Izakovic, M. & Mazur, M.** 2006. Free radicals, metals and antioxidants in oxidative stress-induced cancer. *Chemico-Biological Interactions* 160: 1-40.
- Wikiera, A., Mika, M. & Zyla, K.** 2012. Methylxanthine drugs are human pancreatic lipase inhibitors. *Polish Journal of Food and Nutrition Sciences* 62: 1-40.
- Yoshino, M. & Murakami, K.** 2009. A graphical method for determining inhibition constants. *Journal of Enzyme Inhibition and Medicinal Chemistry* 24: 1288-1290.
- Zhong, J., Tang, N., Asadzadeh, B. & Yan, W.** 2017. Measurement and correlation of solubility of theobromine, theophylline, and caffeine in water and organic solvents at various temperatures. *Journal of Chemical & Engineering Data* 62: 2570-2577.

\*\*\*\*\*

**How to cite this article:**

**Rahmati Darvazi, T. & Sariri, R.** 2022. Kinetic study of peroxidase enzyme in the presence of purine alkaloids. *Nova Biologica Reperta* 8: 279-288. (In Persian).

رحمتی دروازی، ط. و سریری، ر. ۱۴۰۰. مطالعه سینتیکی آنزیم پراکسیداز در حضور آلکالوئیدهای پورینی. یافته‌های نوین در علوم زیستی ۸: ۲۷۹-۲۸۸.